

Пучки Пуанкаре в остром фокусе

В.В. Котляр

ИСОИ РАН – филиал ФНИЦ «Кристаллография и фотоника» РАН
Самара, Россия
kotlyar@ipsiras.ru

С.С. Стафеев

ИСОИ РАН – филиал ФНИЦ «Кристаллография и фотоника» РАН
Самара, Россия
sergey.stafeev@gmail.com

В.Д. Зайцев

Самарский национальный исследовательский университет
им. академика С.П. Королева
Самара, Россия
zaicev-vlad@yandex.ru

А.М. Телегин

Самарский национальный исследовательский университет
им. академика С.П. Королева
Самара, Россия
telegin@ssau.ru

Аннотация—В работе теоретически и численно исследуется острая фокусировка пучков Пуанкаре. С помощью формализма Ричардса-Вольфа найдены аналитические выражения для проекций вектора напряженности электрического и магнитного полей, проекций вектора Пойнтинга и проекций вектора спинового углового момента вблизи острого фокуса данных пучков. Результаты моделирования подтверждают теоретические предсказания.

Ключевые слова — острая фокусировка, формулы Ричардса-Вольфа, пучки Пуанкаре.

1. ВВЕДЕНИЕ

Вихревые лазерные пучки [1] активно исследуются в настоящее время, что связано с их широким применением. В настоящее время также активно изучаются лазерные пучки с неоднородной поляризацией, например, с радиальной или азимутальной [2]. Такие пучки называются цилиндрическими векторными пучками и представляют собой сумму двух оптических вихрей с разным направлением вращения круговой поляризации и противоположными топологическими зарядами. В данной работе исследуются пучки Пуанкаре [3–4]. В данный класс пучков входят как частные случаи однородно поляризованные пучки с линейной и круговой поляризацией, цилиндрические векторные пучки с радиальной и азимутальной поляризацией и пучки с неоднородной эллиптической поляризацией. Теоретически и численно с помощью формализма Ричардса-Вольфа исследована острая фокусировка пучков Пуанкаре. Показано, что поток энергии закручен в поперечной плоскости и содержит области, в которых продольная проекция потока энергии содержит отрицательные значения (область обратного потока энергии).

2. ФОРМУЛЫ РИЧАРДСА-ВОЛЬФА

Пучки Пуанкаре имеют вид [3–4]:

$$\mathbf{E}_P(\varphi) = \frac{1}{\sqrt{2}} \begin{pmatrix} ae^{-i\varphi} + be^{i\varphi} \\ ia e^{-i\varphi} - ib e^{i\varphi} \end{pmatrix}, \quad (1)$$

где $a = \cos(\theta/2)e^{-i\varphi/2}$, $b = \sin(\theta/2)e^{i\varphi/2}$, $a^2 + b^2 = 1$, θ и φ — полярный и азимутальный углы на сфере Пуанкаре, n — целое число, описывающее топологический заряд вихря или порядок поляризации векторного пучка.

Используя уравнение Ричардса-Вольфа [5] можно показать, что в остром фокусе проекции электрического и магнитного полей запишутся в следующем виде:

$$\begin{aligned} E_x &= \frac{i^{n-1}}{\sqrt{2}} \left[(be^{in\varphi} + ae^{-in\varphi}) I_{0,n} + \right. \\ &\quad \left. + (be^{i(n-2)\varphi} + ae^{-i(n-2)\varphi}) I_{2,n-2} \right], \\ E_y &= \frac{i^n}{\sqrt{2}} \left[(ae^{-in\varphi} - be^{in\varphi}) I_{0,n} - \right. \\ &\quad \left. - (ae^{-i(n-2)\varphi} - be^{i(n-2)\varphi}) I_{2,n-2} \right], \\ E_z &= \sqrt{2} i^n (be^{i(n-1)\varphi} + ae^{-i(n-1)\varphi}) I_{1,n-1}, \\ H_x &= \frac{i^n}{\sqrt{2}} \left[(be^{in\varphi} - ae^{-in\varphi}) I_{0,n} + \right. \\ &\quad \left. + (be^{i(n-2)\varphi} - ae^{-i(n-2)\varphi}) I_{2,n-2} \right], \\ H_y &= \frac{i^{n-1}}{\sqrt{2}} \left[(be^{in\varphi} + ae^{-in\varphi}) I_{0,n} - \right. \\ &\quad \left. - (be^{i(n-2)\varphi} + ae^{-i(n-2)\varphi}) I_{2,n-2} \right], \\ H_z &= \sqrt{2} i^{n+1} (be^{i(n-1)\varphi} - ae^{-i(n-1)\varphi}) I_{1,n-1}. \end{aligned} \quad (2)$$

где

$$I_{\nu,\mu} = \left(\frac{4\pi f}{\lambda} \right)_0^{\theta_0} \int_0^{\theta_0} \sin^{\nu+1} \left(\frac{\theta}{2} \right) \cos^{3-\nu} \left(\frac{\theta}{2} \right) \cos^{1/2}(\theta) A(\theta) e^{ikz \cos \theta} J_\mu(x) dx \quad (3)$$

Тогда потоки энергии примут вид:

$$\begin{aligned} P_x &= 2 \cos(\theta) \sin(\varphi) I_{1,n-1} (I_{0,n} + I_{2,n-2}), \\ P_y &= -2 \cos(\theta) \cos(\varphi) I_{1,n-1} (I_{0,n} + I_{2,n-2}), \\ P_z &= I_{0,n}^2 - I_{2,n-2}^2. \end{aligned} \quad (4)$$

При переходе в полярную систему координат уравнения (4) преобразуются в

$$\begin{aligned} P_r &= 0, \\ P_\varphi &= -\cos(\theta)I_{1,n-1}(I_{0,n} + I_{2,n-2}), \\ P_z &= I_{0,n}^2 - I_{2,n-2}^2. \end{aligned} \quad (5)$$

Из уравнений (4)–(5) видно, что поток энергии закручен в поперечной плоскости. Также видно, что продольная компонента вектора Пойнтинга содержит области с отрицательными значениями (область обратного потока энергии). При этом для $n = 2$ область обратного потока расположена на оси.

3. РЕЗУЛЬТАТЫ ЧИСЛЕННОГО МОДЕЛИРОВАНИЯ

Численное моделирование осуществлялось с помощью интеграла Ричардса-Вольфа [5]. Считалось, что фокусировка осуществляется апланатическим объективом с числовой апертурой $NA = 0,95$ для длины волны $\lambda = 0,532$ нм. Рассматривался пучок Пуанкаре с параметрами $\theta = \pi/4$, $\psi = \pi/4$, $n = 0$.

Результаты моделирования приведены на рис. 1 и 2. На рис. 1 показано распределение поперечных составляющих вектора Пойнтинга P_x и P_y . На рис. 2 показано распределение продольной составляющей вектора Пойнтинга P_z в вычисляемой области и его сечение вдоль оси x .

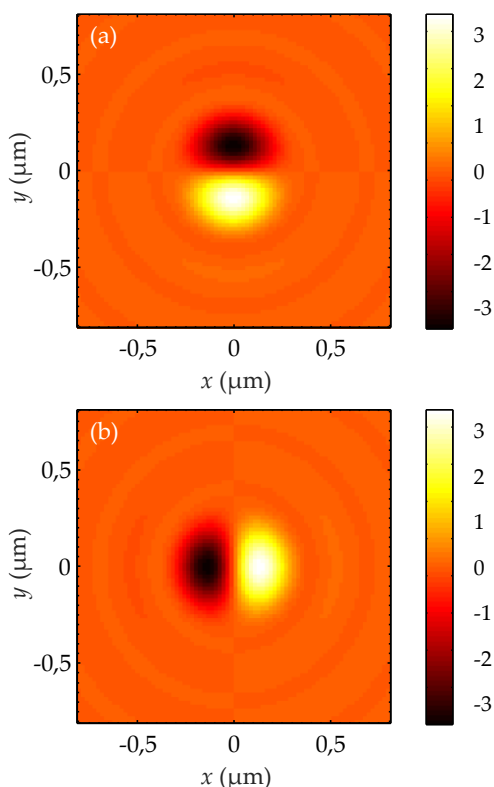


Рис. 2. Распределение составляющих поперечного потока энергии (проекций вектора Пойнтинга) в области острого фокуса: P_x (а), P_y (б) для пучка Пуанкаре $\theta = \pi/4$, $\psi = \pi/4$, $n = 0$

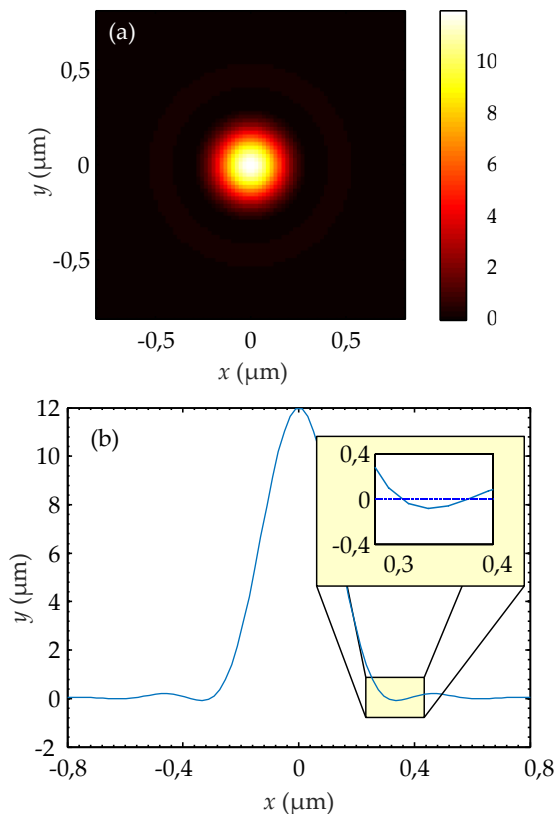


Рис. 1. Распределение продольной проекции вектора Пойнтинга (а) и его сечение вдоль оси x (б) для пучка Пуанкаре $\theta = \pi/4$, $\psi = \pi/4$, $n = 0$

4. ЗАКЛЮЧЕНИЕ

В данной работе теоретически и численно были исследованы пучки Пуанкаре. С помощью формализма Ричардса-Вольфа найдены выражения для напряженности электрического и магнитного полей, компонент векторов Пойнтинга и спинового углового момента вблизи острого фокуса данных пучков. Были найдены условия формирования обратного потока энергии на оси, а также было показано, что поток энергии закручен в поперечной плоскости.

БЛАГОДАРНОСТИ

Работа выполнена при поддержке Российского научного фонда (грант 22-12-00137).

ЛИТЕРАТУРА

- [1] Kotlyar, V. Vortex laser beams / V. Kotlyar, A. Kovalev, A. Porfirev. – CRC Press, 2018. – 418 p.
- [2] Zhan, Q. Cylindrical vector beams: from mathematical concepts to applications / Q. Zhan // Adv. Opt. Photonics. – 2009. – Vol. 1(1). – P. 1–57.
- [3] Beckley, A.M. Full Poincaré beams / A.M. Beckley, T.G. Brown, M.A. Alonso // Opt. Express. – 2010. – Vol. 18(10). – P. 10777–10785.
- [4] Chen, S. Generation of arbitrary cylindrical vector beams on the higher order Poincaré sphere / S. Chen, X. Zhou, Y. Liu, X. Ling, H. Luo, S. Wen // Opt. Lett. – 2014. – Vol. 39(18). – P. 5274–5276.
- [5] Richards, B. Electromagnetic Diffraction in Optical Systems. II. Structure of the Image Field in an Aplanatic System / B. Richards, E. Wolf // Proc. R. Soc. A Math. Phys. Eng. Sci. – 1959. – Vol. 253(1274). – P. 358–379.